

## Anhang: Chebyshev-Polynome und Lucas-Folgen

**Vorbemerkung:** *Pafnuti Lwowitsch Tschebyschow* (1821-1894) war ein russischer Mathematiker, dessen Name an verschiedenen Stellen auftaucht. Hier wird die englische Schreibweise *Chebyshev* verwendet, es finden sich aber auch eine Reihe anderer Schreibweisen: Tchebychev, Čebyšev, Tchebychef, Tchebycheff, Tchebychev, Tschebyschef, Tschebyscheff, Tschebyschew, Tschebyschow. (Die letzte Schreibweise ist die aktuelle wissenschaftliche Transliteration.)

Die **Chebyshev-Polynome 1. Art**  $T_n(x)$  werden rekursiv durch

$$T_0(x) = 1, \quad T_1(x) = x \quad \text{und} \quad T_n(x) = 2xT_{n-1}(x) - T_{n-2}(x) \quad \text{für } n \geq 2$$

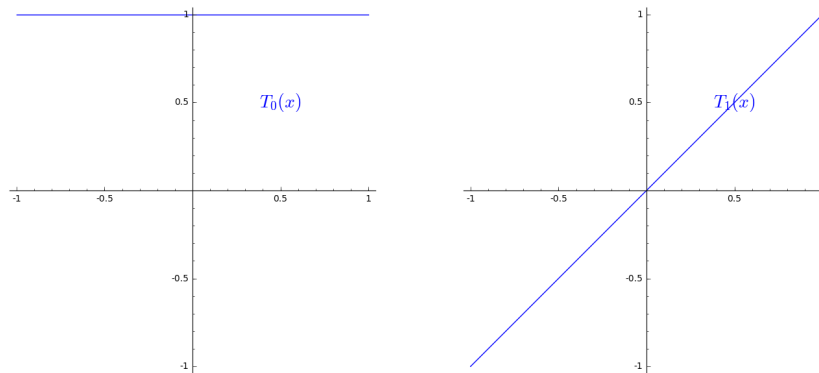
definiert. Die **Chebyshev-Polynome 2. Art**  $U_n(x)$  werden durch

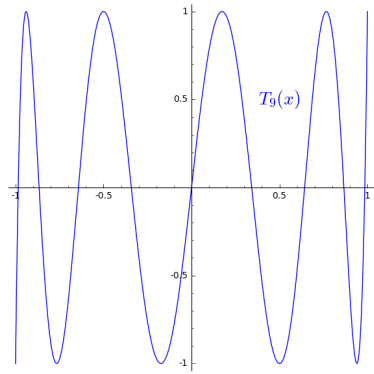
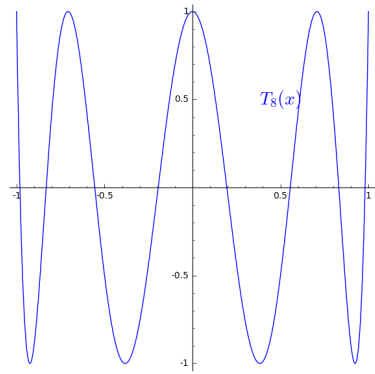
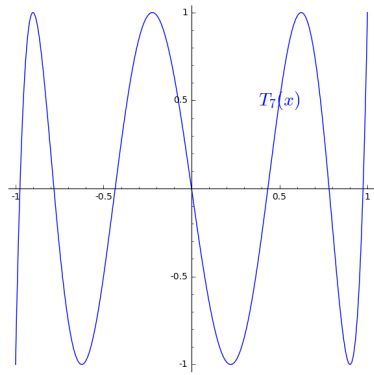
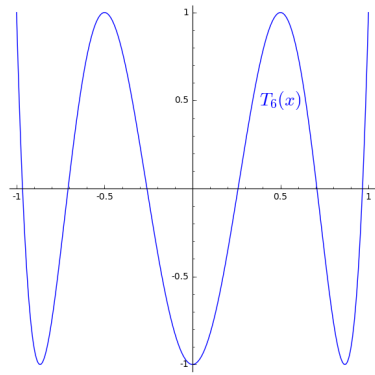
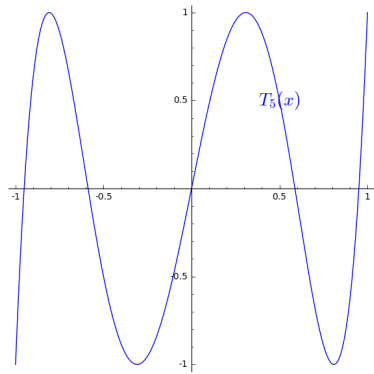
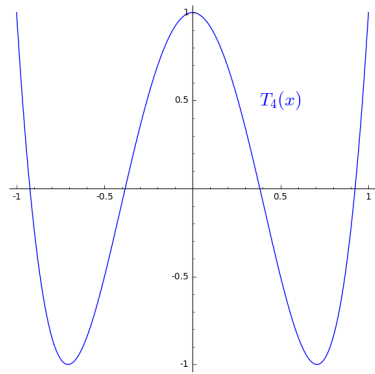
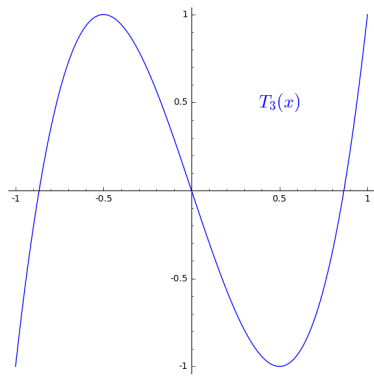
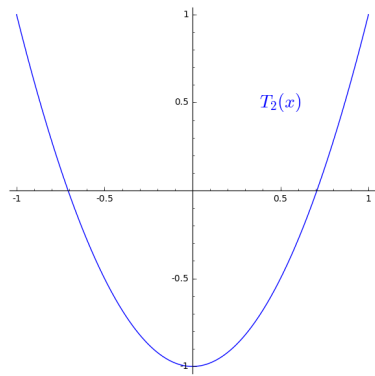
$$U_0(x) = 1, \quad U_1(x) = 2x, \quad U_n(x) = 2xU_{n-1}(x) - U_{n-2}(x) \quad \text{für } n \geq 2$$

rekursiv definiert. SAGE kennt dafür die Befehle `chebyshev_T(n,x)` und `chebyshev_U(n,x)`. Wir werden hier aber nur die Polynome  $T_n(x)$  betrachten. Die ersten 10 Polynome  $T_n(x)$  sind:

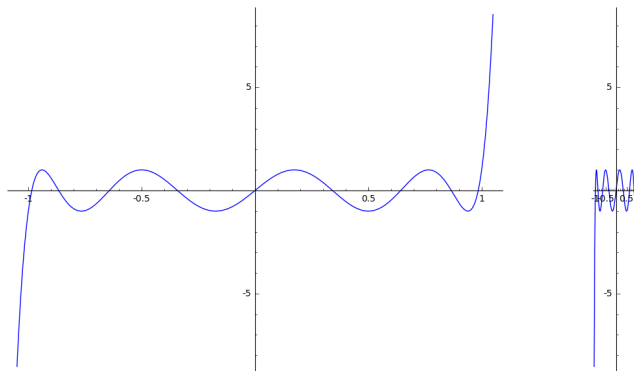
$n$	$T_n(x)$
0	1
1	$x$
2	$2x^2 - 1$
3	$4x^3 - 3x$
4	$8x^4 - 8x^2 + 1$
5	$16x^5 - 20x^3 + 5x$
6	$32x^6 - 48x^4 + 18x^2 - 1$
7	$64x^7 - 112x^5 + 56x^3 - 7x$
8	$128x^8 - 256x^6 + 160x^4 - 32x^2 + 1$
9	$256x^9 - 576x^7 + 432x^5 - 120x^3 + 9x$

Man kann die Chebyshev-Polynome über einem beliebigen Körper betrachten. Für die reellen Polynome erhält man folgende Bilder im Intervall  $[-1, 1]$ :





Die folgenden Bilder zeigen  $T_9(x)$  im Intervall  $[-1.05, 1.05]$ , einmal nicht maßstabsgetreu, das zweite Mal maßstabsgetreu:



Die Chebyshev-Polynome haben eine Vielzahl interessanter Eigenschaften, von denen wir aber nur einige erwähnen. Das folgende Lemma stellt einen Zusammenhang zu den Lucas-Folgen her:

LEMMA. Für die Lucas-Folge  $V_n(P, Q)$  mit  $P = 2x$  und  $Q = 1$  gilt

$$T_n(x) = \frac{1}{2}V_n(2x, 1).$$

Beweis: Es gilt  $V_0(P, Q) = 2$ ,  $V_1(P, Q) = P$  und

$$V_n(P, Q) = PV_{n-1}(P, Q) - QV_{n-2}(P, Q) \text{ für } n \geq 2.$$

Wir beweisen die Behauptung durch Induktion. Für  $n = 0$  und  $n = 1$  ist

$$T_0(x) = 1 = \frac{1}{2}V_0(2x, 1) \quad \text{und} \quad T_1(x) = x = \frac{1}{2}V_1(2x, 1).$$

Gilt die Aussage bereits für  $n - 2$  und  $n - 1$ , so folgt

$$\begin{aligned} T_n(x) &= 2xT_{n-1}(x) - T_{n-2}(x) = 2x \cdot \frac{1}{2}V_{n-1}(2x, 1) - \frac{1}{2}V_{n-2}(2x, 1) = \\ &= \frac{1}{2}(2xV_{n-1}(2x, 1) - V_{n-2}(2x, 1)) = \frac{1}{2}V_n(2x, 1), \end{aligned}$$

was die Behauptung nun durch Induktion beweist. ■

SATZ. Für  $m, n \geq 0$  gilt

$$T_m(T_n(x)) = T_{mn}(x).$$

Beweis: Wir wissen, dass gilt

$$V_{mn}(P, Q) = V_m(V_n(P, Q), Q^m),$$

woraus für  $Q = 1$

$$V_{mn}(P, 1) = V_m(V_n(P, 1), 1)$$

folgt. Mit dem letzten Lemma erhalten wir

$$\begin{aligned} T_m(T_n(x)) &= \frac{1}{2}V_m(2 \cdot T_n(x), 1) = \frac{1}{2}V_m(V_n(2x, 1), 1) = \\ &= \frac{1}{2}V_{mn}(2x, 1) = T_{mn}(x), \end{aligned}$$

wie behauptet. ■

LEMMA. Ist  $K$  ein Körper der Charakteristik  $\neq 2$  und  $u \in K^*$ , so gilt für  $n \geq 0$

$$T_n\left(\frac{1}{2}\left(u + \frac{1}{u}\right)\right) = \frac{1}{2}\left(u^n + \frac{1}{u^n}\right).$$

*Beweis:* Nach dem letzten Lemma gilt

$$T_n\left(\frac{1}{2}\left(u + \frac{1}{u}\right)\right) = \frac{1}{2}V_n\left(u + \frac{1}{u}, 1\right).$$

Wegen  $x^2 - \left(u + \frac{1}{u}\right)x + 1 = (x - u)\left(x - \frac{1}{u}\right)$  sind  $u$  und  $\frac{1}{u}$  die Nullstellen des Polynoms  $x^2 - \left(u + \frac{1}{u}\right)x + 1$ , sodass gilt

$$V_n\left(u + \frac{1}{u}, 1\right) = u^n + \left(\frac{1}{u}\right)^n.$$

Damit ergibt sich

$$T_n\left(\frac{1}{2}\left(u + \frac{1}{u}\right)\right) = \frac{1}{2}V_n\left(u + \frac{1}{u}, 1\right) = \frac{1}{2}\left(u^n + \frac{1}{u^n}\right),$$

wie behauptet. ■

SATZ. Für  $K = \mathbb{R}$  und  $\varphi \in \mathbb{R}$  gilt für alle  $n \in \mathbb{N}_0$

$$\cos(n\varphi) = T_n(\cos \varphi).$$

*Beweis:* Wir wenden das letzte Lemma für  $K = \mathbb{C}$  auf  $u = e^{i\varphi}$  an:

$$T_n(\cos \varphi) = T_n\left(\frac{1}{2}(e^{i\varphi} + e^{-i\varphi})\right) = \frac{1}{2}(e^{in\varphi} + e^{-in\varphi}) = \cos(n\varphi). \quad \blacksquare$$

Beispielsweise ist

$$\begin{aligned} \cos(2\varphi) &= T_2(\cos \varphi) = 2(\cos \varphi)^2 - 1 \\ \cos(3\varphi) &= T_3(\cos \varphi) = 4(\cos \varphi)^3 - 3 \cos \varphi. \end{aligned}$$

Der Satz liefert eine Charakterisierung der Chebyshev-Polynome über den reellen Zahlen.

Mit der folgenden Formel kann man die Chebyshev-Polynome für kryptographische Anwendungen schnell auswerten:

SATZ. Für  $n \geq 0$  gilt

$$\begin{pmatrix} T_n(x) \\ T_{n+1}(x) \end{pmatrix} = \begin{pmatrix} 0 & 1 \\ -1 & 2x \end{pmatrix}^n \begin{pmatrix} 1 \\ x \end{pmatrix}.$$

*Beweis:* Dies beweist man durch Induktion. Der Induktionsanfang  $n = 0$  folgt aus der Definition. Der Schluss von  $n$  auf  $n + 1$  ergibt sich aus der Rekursionsformel:

$$\begin{aligned} \begin{pmatrix} T_{n+1}(x) \\ T_{n+2}(x) \end{pmatrix} &= \begin{pmatrix} T_{n+1}(x) \\ 2xT_{n+1}(x) - T_n(x) \end{pmatrix} = \begin{pmatrix} 0 & 1 \\ -1 & 2x \end{pmatrix} \begin{pmatrix} T_n(x) \\ T_{n+1}(x) \end{pmatrix} = \\ &= \begin{pmatrix} 0 & 1 \\ -1 & 2x \end{pmatrix} \begin{pmatrix} 0 & 1 \\ -1 & 2x \end{pmatrix}^n \begin{pmatrix} 1 \\ x \end{pmatrix} = \begin{pmatrix} 0 & 1 \\ -1 & 2x \end{pmatrix}^{n+1} \begin{pmatrix} 1 \\ x \end{pmatrix}. \end{aligned}$$

Dies beweist den Satz. ■